



ملیحه محمد نیا^۱
ابوالقاسم امیراحمدی^۲
الله اکبری^۳
شهرام بهرامی^۴

پنهاندی خطر زمین لغزش در حوضه جاغرق و دررود (مسیر پیشنهادی جدید طرقه-دررود)

تاریخ دریافت: ۱۳۹۳/۰۵/۳۰ تاریخ پذیرش: ۱۳۹۴/۰۳/۰۴

چکیده

زمین لغزش یکی از انواع مخرب فرسایش در دامنه‌ها است که موجب ایجاد خسارت‌های مالی و جانی در جاده‌ها می‌شود. شناسایی عوامل موثر در وقوع زمین لغزش و تهیه نقشه پنهاندی خطر یکی از ابزارهای اساسی جهت مدیریت و کاهش خسارات احتمالی محسوب می‌گردد. در این تحقیق، به منظور ارائه راهکاری جهت پیشگیری از مخاطرات جانی و مالی، سعی شده است مخاطره زمین لغزش در مسیر جاده پیشنهادی طرقه-دررود با استفاده از روش بیزین پنهاندی گردد. لذا با جمع‌آوری اطلاعات مورد نیاز از پراکندگی لغزش‌ها در منطقه، ضمن تهیه نقشه پراکندگی زمین لغزش‌ها، به تهیه ۱۳ لایه اطلاعاتی شامل: درجه شیب، جهت شیب، شکل شیب، ارتفاع، کاربری

E-mail: malihe.mohamadnia@yahoo.com

- دانشجوی دکتری ژئومورفولوژی - دانشگاه حکیم سبزواری.
- دانشیار گروه جغرافیای طبیعی - دانشگاه حکیم سبزواری.
- دانشجوی دکتری سنجش از دور دانشگاه تهران و مریبی گروه جغرافیای طبیعی - دانشگاه حکیم سبزواری.
- دانشیار گروه جغرافیای طبیعی - دانشگاه حکیم سبزواری.

اراضی، زمین‌شناسی، فاصله از جاده، فاصله از آبراهه، فاصله از گسل، شاخص حمل ر Sob، خاک و پهنه‌های بارش منطقه در محیط سیستم اطلاعات جغرافیایی اقدام گردید. با استفاده از تئوری احتمالاتی بیزین ارتباط هر یک از عوامل و نقاط لغزشی تعیین و وزن طبقه‌های هر عامل مشخص شد. در نهایت نقشه‌های پهنه‌بندی خطر زمین‌لغزش با ۱۴ رویکرد استفاده از تمام عوامل موثر و حذف تک‌تک عوامل، با استفاده از تئوری بیزین برای منطقه مورد مطالعه تهیه شده است. سپس میزان دقت و صحت نقشه‌ها با استفاده از منحنی ROC و $\%30$ نقاط لغزشی صورت گرفت و مشخص گردید که دقت مدل احتمالاتی تهیه شده با حذف عامل فاصله از گسل در منطقه، با دقت $\%86.5$ (خیلی خوب) برآورد گردید. با استفاده از نقشه ارائه شده می‌توان مناطق ناپایدار را شناسایی و در اجرای برنامه‌های عمرانی و بخصوص احداث راه به آن استناد نمود.

کلید واژه‌ها: پهنه‌بندی، زمین‌لغزش، بیزین، منحنی ROC، GIS، جاده طرق‌به-دررود.

مقدمه

رشد سریع جمعیت و گسترش شهرها در نواحی کوهستانی موجب بروز برخی ناهنجاری‌های طبیعی در وضعیت ساکنین کره‌ی زمین شده است (خالدی و همکاران، ۱۳۹۱: ۶۶). حرکات دامنه‌ای و به‌طور اخص زمین‌لغزش‌ها در زمرة‌ی پرخسارترین آن‌ها است که همگام با دستکاری بشر در سیستم‌های طبیعی در دهه‌های اخیر شتاب فزاينده‌ای یافته است (اما می و غیومیان، ۱۳۸۲: ۱۱۵)، به‌گونه‌ای که از آن به‌عنوان یکی از فرآیندهای ژئومورفیک عمده در چشم‌انداز مناطق کوهستانی یاد می‌شود (هاتانجی و موریوکی^۰، ۲۰۰۹: ۴۴۷).

از آنجا که تهیه نقشه‌ی حساسیت زمین‌لغزش به‌طور چشمگیری برنامه‌ریزی کاربری را بهبود می‌بخشد، می‌توان از آن به‌عنوان روشی کارآمد برای کاهش خسارت‌های جانی و مالی ناشی از زمین‌لغزش‌ها استفاده کرد. پهنه‌بندی صحیح و اصولی خطر زمین‌لغزش و عوامل موثر در آن می‌تواند در تصمیم‌گیری برای مهار و کنترل و کاهش خسارات ناشی از آن مفید و موثر باشد (عبدالینی و فتحی، ۱۳۹۳: ۷۲). تهیه نقشه حساسیت زمین‌لغزش به طراحان و مهندسان برای اجرای طرح‌های توسعه به‌عنوان اطلاعات پایه‌ای جهت گامی مهم برای مدیریت خطر زمین‌لغزش

به منظور برقراری امنیت زندگی، توسعه زیرساخت‌ها و حفاظت محیط‌زیست کمک می‌نماید (نیهوسر و ترهوست^۶، ۲۰۰۷ و پرادهان^۷، ۲۰۱۱).

با توجه به کوهستانی بودن منطقه، احتمال وقوع حرکات دامنه‌ای در محدوده مطالعاتی اجتناب‌ناپذیر به نظر می‌رسد. همچنین در دهه‌های اخیر با افزوده شدن عوامل انسانی، ناپایداری شیب‌ها تشید شده است. نظر به اهمیت موضوع، شناخت عوامل موثر در وقوع زمین‌لغزش و مناطق مورد خطر امری ضروری به نظر می‌رسد. از این‌رو مطالعات مختلفی در بحث پهنه‌بندی خطر حرکات دامنه‌ای صورت گرفته است.

پورقادسی و همکاران (۱۳۸۹)، با استفاده از مدل احتمالاتی بیزین نقشه‌ی حساسیت زمین‌لغزش را در حوضه آبخیز هراز تهیه کردند. در این تحقیق عوامل شیب، جهت شیب، ارتفاع، زمین‌شناسی، کاربری اراضی، فاصله از جاده، فاصله از آبراهه و فاصله از گسل به عنوان عوامل موثر شناسایی و نقشه حساسیت زمین‌لغزش برای منطقه مورد مطالعه تهیه گردید. همین پژوهشگر در تحقیقی مشابه در بخشی از استان گلستان در سال ۱۳۹۱، نقشه خطر زمین‌لغزش را با استفاده از تئوری بیزین تهیه نمود. در این تحقیق عوامل درجه شیب، جهت شیب، شکل شیب، ارتفاع، کاربری اراضی، زمین‌شناسی، فاصله از جاده، فاصله از آبراهه، فاصله از گسل، شاخص توان آبراهه، شاخص حمل رسوب و پهنه‌های بارش منطقه به عنوان عوامل موثر در زمین‌لغزش مشخص گردید و نقشه‌ی پهنه‌بندی خطر زمین‌لغزش با ۱۴ رویکرد (استفاده از تمام عوامل موثر و حذف تک‌تک عوامل) تهیه گردید. نتایج نشان داد با حذف عامل شیب از تحلیل‌ها دقیق‌تر نمودند.

کرمی (۱۳۹۱)، با استفاده از روش‌های آماری دومتغیره و مدل وزنی شاهد به ارزیابی حساسیت زمین‌لغزش در حوضه زهکشی سعیدآباد چای پرداخت. نتایج این ارزیابی نشان می‌دهد که عامل شیب با ۳/۹۶۵٪ با وقوع زمین‌لغزش بیشترین همبستگی مثبت را دارد. حدود ۴۳/۱ درصد مساحت حوضه سعیدآباد چای دارای حساسیت متوسط به بالا نسبت به بروز زمین‌لغزش برآورد گردید. از نمونه تحقیقات دیگر در این زمینه می‌توان به پژوهش فعله‌گری و همکاران (۱۳۹۲) اشاره کرد. در این تحقیق اثر جاده‌سازی در وقوع زمین‌لغزش با استفاده از مدل پایداری دامنه (FLAC SLOP) برای حوضه آبخیز سد ایلام مورد بررسی قرار گرفته است. نتایج نشان داد جاده‌سازی در دامنه‌های با شیب بیش از ۱۵ درصد موجب کاهش پایداری دامنه می‌شود. ارزیابی و پهنه‌بندی خطر

6- Neuhauser and Terhorst

7- Prahdan

زمین‌لغزش در شهر رودبار با استفاده از فرآیند تحلیل شبکه عنوان پژوهشی است که توسط مقیمی و همکاران (۱۳۹۲)، انجام گرفت. در پژوهش پیش رو با تعیین عناصر موثر در وقوع خطر زمین‌لغزش شامل شیب، جهت شیب، لیتوولژی، کاربری اراضی، میانگین بارش سالانه، فاصله از گسل، آبراهه و مراکز مسکونی با اعمال نظر کارشناسان، پیشینه مطالعاتی و بازدیدهای میدانی و نیز استفاده از روش فرآیند تحلیل شبکه و وزن‌دهی این عناصر نسبت به یکدیگر هر عنصر بر مبنای نظر کارشناسان، نسبت به عملکرد وقوع خطر زمین‌لغزش شهری پنهان‌بندی شد. نتایج به‌دست آمده نشان داد از میان متغیرهای مورد بررسی، دو عامل شیب و لیتوولژی بیشترین تاثیر را در وقوع زمین‌لغزش رودبار داشته است.

لی و همکاران^۸ (۲۰۰۲) برای تحلیل حساسیت زمین‌لغزش از تنوری بیزین استفاده کردند. در این تحقیق از ۱۳ عامل موثر برای پنهان‌بندی حساسیت زمین‌لغزش استفاده و نتایج ارزیابی نشان داد که مدل مذکور دقت بالایی در منطقه مورد مطالعه دارد.

لی و چوی^۹ (۲۰۰۴)، ۱۵ عامل موثر بر وقوع زمین‌لغزش را شناسایی و با استفاده از مدل بیزین نقشه‌ی پنهان‌بندی حساسیت زمین‌لغزش را با رویکردهای مختلف تهیه نمودند. نتایج ارزیابی نشان داد که بیشترین دقت مدل زمانی است که از ۶ عامل درجه شیب، شکل شیب، نوع توپوگرافی، قطر درخت، لیتوولژی و فاصله از جاده استفاده گردیده است.

گابت و همکاران^{۱۰} (۲۰۰۴)، با استفاده از داده‌های بارش و بار رسوی حوضه‌ی آنапورنای هیمالایای نپال، به آثار بارش و ویژگی‌های شیب دامنه در شروع زمین‌لغزش‌ها در دوره بارش‌های موسمی این حوضه پی بردن. آن‌ها دریافتند هنگامی که طی دوره بارش‌های موسمی، آستانه بارش بیش از ۸۶۰ میلی‌متر برسد، حرکات لغزشی رخ خواهد داد. متو و همکاران^{۱۱} (۲۰۰۷)، با استفاده از مدل بیزین به پنهان‌بندی خطر زمین‌لغزش در بخشی از دره‌ی Bhagirathi پرداختند. در این تحقیق از عواملی چون لیتوولژی، ساختار شیب، جهت شیب، کاربری اراضی، پوشش اراضی و فاصله از جاده جهت تهیه نقشه خطر زمین‌لغزش استفاده گردید و نهایتاً نقشه‌ی خطر زمین‌لغزش با دقت ۸۴/۶٪ تهیه گردید.

8- Lee et al

9- Lee and Choi

10- Gabet et al

11- Mathew et al

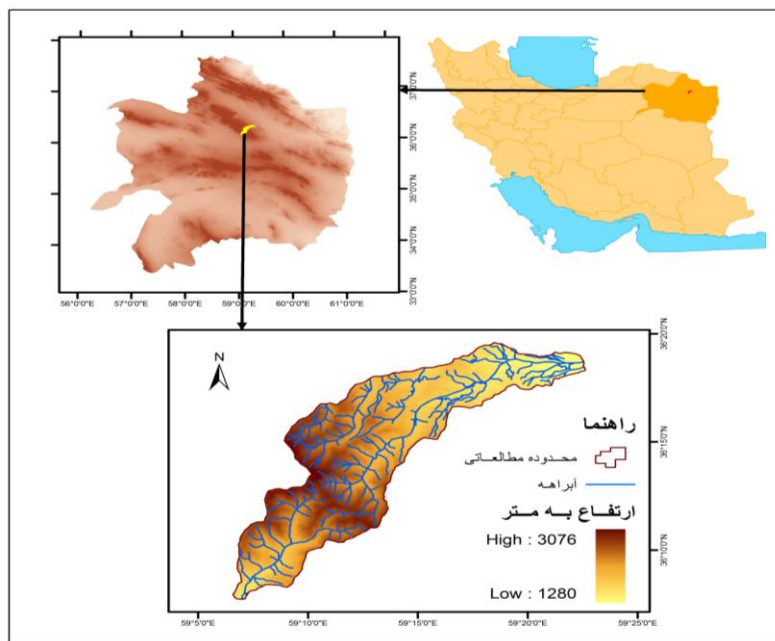
رگمی^{۱۲} و همکاران (۲۰۱۰) از تئوری بیزین بهمنظور مدل‌سازی حساسیت زمین‌لغزش در غرب کلرادوی امریکا استفاده کردند. در این پژوهش ۱۷ عامل در بررسی و پیش‌بینی وقوع زمین‌لغزش مورد استفاده قرار گرفت. دقت مدل مذکور در پیش‌بینی حوادث طبیعی بخصوص زمین‌لغزش ۷۸/۴٪ برآورد گردید. به‌طور کلی نتایج حاصله از تحقیقات انجام شده نشان می‌دهد که استفاده از تئوری احتمالاتی بیزین می‌تواند در پیش‌بینی وقوع حوادث طبیعی از جمله زمین‌لغزش‌ها به عنوان یک روش خوب مورد استفاده قرار می‌گیرد.

در بسیاری از تحقیقات انجام شده در زمینه حرکات دامنه‌ای وزن‌دهی معیارها براساس نظرات کارشناسان انجام شده است و این امر ممکن است منجر به عدم دقت نقشه تهیه شده گردد. همچنین در برخی موارد به تعداد محدودی از عوامل تاثیرگذار در لغزش پرداخته شده که این امر نیز احتمال کاهش دقت نقشه خطر را فراهم می‌سازد. لذا در پژوهش حاضر سعی بر آن است که با استفاده از تئوری بیزین در مسیر پیشنهادی طرقبه-دررود، پتانسیل ظهور مخاطرات ناشی از تغییر کاربری زمین چون زمین‌لغزش در طول مسیر این جاده مورد ارزیابی قرار گیرد. در این روش وزن‌دهی معیارها براساس تعداد پیکسل‌های لغزشی و فاقد لغزش انجام می‌گیرد. لذا احتمال خطا کاهش می‌یابد. با توجه به کارآیی این روش، عوامل درجه شیب، جهت شیب، شکل شیب، ارتفاع، کاربری اراضی، زمین‌شناسی، فاصله از جاده، فاصله از آبراهه، فاصله از گسل، شاخص توان آبراهه، شاخص حمل رسوب، خاک و پهنه‌های بارش جهت تهیه نقشه خطر زمین‌لغزش در نظر گرفته شده است.

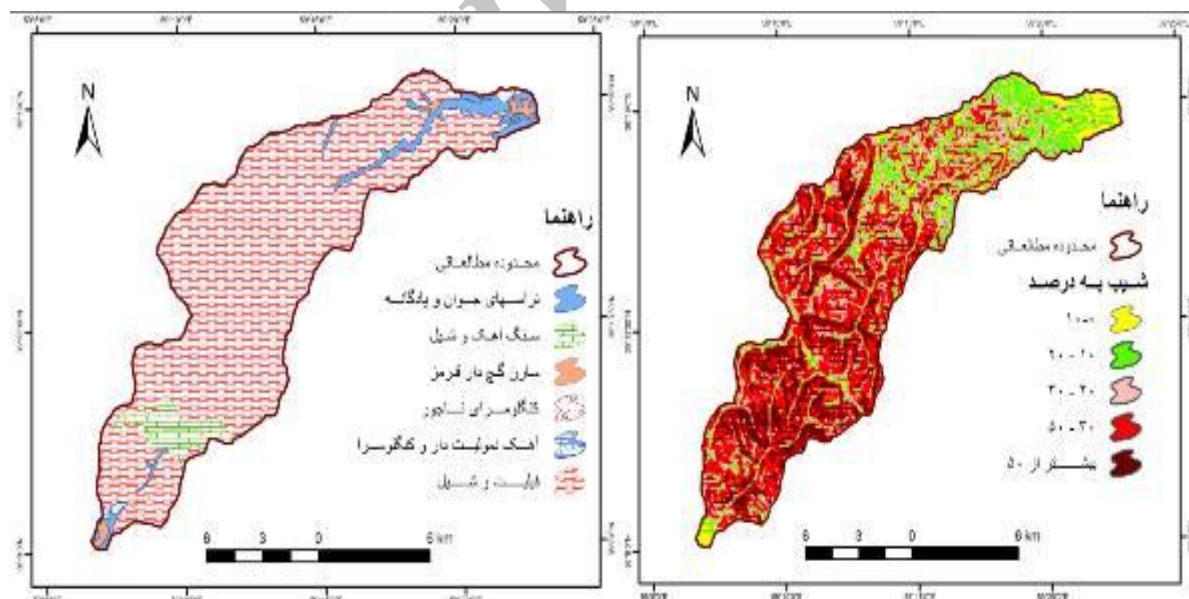
معرفی منطقه مورد مطالعه

محدوده منطقه مورد تحقیق، با مساحت تقریبی ۱۶۱/۵ کیلومترمربع در محدوده طول جغرافیایی ۵۴ درجه و ۳۷ دقیقه و ۲ ثانیه تا ۵۴ درجه و ۴۱ دقیقه و ۹ ثانیه و عرض جغرافیایی ۳۶ درجه و ۸ دقیقه و ۴ ثانیه تا ۳۶ درجه و ۱۹ دقیقه و ۴۳ ثانیه و بخشی از دامنه‌های شمالی و جنوبی ارتفاعات بینالود می‌باشد که بین شهرستان‌های طرقبه و درود قرار دارد. از نظر تقسیمات کشوری به استان خراسان رضوی و شهرهای مشهد و نیشابور تعلق دارد. حداقل ارتفاع در محدوده مورد بررسی حدود ۱۲۸۰ متر می‌باشد که در قسمت شهرستان طرقبه واقع گردیده و حداقل ارتفاع با حدود ۳۰۷۶ متر منطبق بر خط الراس ارتفاعات بینالود می‌باشد. متوسط بارش در منطقه نیز حدود ۳۳۱ میلی‌متر برآورد گردیده است. از لحاظ زمین‌شناسی بخش اعظم تشکیلات منطقه مربوط به تریاس و شامل فیلیت و شیل

می باشد. (شکل ۱) موقعیت محدوده مطالعاتی، (شکل ۲) نقشه شیب و (شکل ۳)، تشکیلات زمین‌شناسی محدوده مورد مطالعه را نشان می دهد.



شکل ۱: موقعیت محدوده مورد مطالعه



شکل ۳: نقشه زمین‌شناسی محدوده مورد مطالعه

شکل ۲: نقشه شیب محدوده مورد مطالعه

محدوده منطقه مورد مطالعه از شیت‌های گلمکان، طرقه، درود و پیوهزن نقشه‌های توپوگرافی ۱:۵۰۰۰۰ سازمان جغرافیایی ارتش مشخص شد و لایه شیب، جهت شیب، شکل شیب و فاصله از آبراهه استخراج گردید. از نقشه زمین‌شناسی ۱:۱۰۰۰۰ سازمان زمین‌شناسی ایران جهت استخراج لایه‌های زمین‌شناسی و گسل‌های منطقه استفاده گردید. برای تهیه لایه کاربری اراضی از تصاویر ماهواره‌ای لندست ۸ (سنجدنه ETM+ سال ۲۰۱۴) و روش طبقه‌بندی بیشترین شباهت استفاده گردید. بدین منظور عملیات پیش پردازش شامل تصحیح اتمسفری و تصحیح هندسی با ۱۰ تعداد نقاط کنترل و دقت RMS به میزان ۵/۰ انجام شده است. برای بهدست آوردن لایه خاک از نتایج نمونه‌برداری‌های آزمایشگاه مکانیک خاک و برای تهیه لایه فاصله از جاده از آمار و اطلاعات اداره راه و شهرسازی استان خراسان و بازدیدهای میدانی استفاده گردید. نقشه بارش نیز با استفاده از اطلاعات ایستگاه‌های باران‌سنگی و سینوپتیک محدوده مورد مطالعه و اطراف آن بهدست آمد.

به منظور پهنه‌بندی خطر زمین‌لغزش با استفاده از تئوری بیزین پس از تهیه‌ی نقشه‌ی پراکنش زمین‌لغزش‌های منطقه مطالعاتی و ایجاد هر یک از عوامل موثر بر وقوع زمین‌لغزش شامل: درجه شیب، جهت شیب، شکل شیب، ارتفاع، کاربری اراضی، زمین‌شناسی، خاک، فاصله از گسل، فاصله از جاده، فاصله از آبراهه، شاخص توان آبراهه، شاخص حمل رسوب و بارش، هر یک از لایه‌ها کلاس‌بندی و با نقشه پراکنش زمین‌لغزش‌ها تلفیق گردید.

به منظور تعیین نقشه‌های شاخص توان آبراهه^{۱۳} و شاخص حمل رسوب^{۱۴} از روابط ۱ و ۲ استفاده گردید (مور و همکاران، ۱۹۹۳^{۱۵}: ۴۴۵) (نفسلیوگلو و همکاران^{۱۶}, ۴: ۴۰۴).^{۱۷}

$$\text{SPI} = A_s \cdot \tan \beta \quad (1)$$

$$\text{STI} = \left(\frac{A_s}{22/13} \right)^{15} \cdot \left(\frac{\sin \beta}{0.0896} \right)^{16} \quad (2)$$

که در آن:

$$A_s = \text{مساحت ویژه آبخیز}$$

13- Stream Power Index (SPI)

14- Sediment Transport Index (STI)

15- Moore et al

16- Nefslioglu et al

$\beta = \text{گرادیان شب بر حسب درجه}$
 $\text{STI} = \text{توان حمل آبراهه و یا به عبارتی عامل LS (Length and Slope) AUSLE}^{17}$ است که مدل مذکور اصلاح شده‌ی معادله جهانی تلفات خاک^{۱۸} می‌باشد (پورقاسمی و همکاران، ۱۳۹۱: ۱۱۱).
 برای محاسبه مساحت ویژه آبخیز^{۱۹} از تحلیل‌های مکانی در نرم‌افزار Arc GIS و گزینه Hydrology با ورود DEM استفاده گردید. عواملی چون folw direction، folw Accumulation، filldem و از رابطه ۳، رستر مساحت ویژه آبخیز حاصل گردید.

$$\text{Sca} = (\text{folw accumulation} + 1) \cdot (\text{folw direct}) / 1000 \quad (\text{رابطه } 3)$$

- روش بیزین

شبکه‌های بیزین به نام شبکه‌های تصمیم^{۲۰}، شبکه‌های تصادفی^{۲۱} و نمودارهای تاثیر^{۲۲} نیز شناخته می‌شوند (شهابی و سعدالدین، ۱۳۸۸: ۲). این روش بر مبنای قضیه بیز^{۲۳} و به قانون احتمالات وابسته است که برای مطالعات پزشکی در ابتدای دهه ۱۹۹۰ به عنوان سیستم‌های پشتیبانی مورد استفاده قرار گرفت (رابطه ۴) و در دهه اخیر کاربردهای زیادی در سایر علوم به ویژه در پهنه‌بندی خطر زمین‌لغزش داشته است (پورقاسمی و همکاران، ۱۳۹۱: ۱۱۲). به این منظور با استفاده از روابطه‌های ۵ و ۶ وزن‌های محتمل هر عامل و طبقه‌های مربوط به آن محاسبه گردید.

$$P(b|a) = P(a|b) \times P(b) / P(a) \quad (\text{رابطه } 4)$$

که در آن:

a: احتمال وقوع پیشامد $P(a)$

b: احتمال وقوع پیشامد $P(b)$

17- Adapted Universal Soil Loss Equation

18- Universal Soil Loss Equation

19- Specific Catchment Area

20- Belief networks

21- Casual networks

22- Influence diagrams

23- Bayes theorem

$P(b|a)$: احتمال وقوع پیش‌آمد b به شرطی که پیش‌آمد a اتفاق افتاده باشد و $P(a|b)$: احتمال وقوع پیش‌آمد a به شرطی که پیش‌آمد b اتفاق افتاده باشد (ون وسترن^{۲۴}، ۲۰۰۲: ۲۱).

$$W_i^+ = \log_e [P(B_i) | S / P(B_i) | \bar{S}] \quad (5)$$

$$W_i^- = \log_e [P(\bar{B}_i) | S / P(\bar{B}_i) | \bar{S}] \quad (6)$$

بهمنظور درک هرچه بهتر روابط ۵ و ۶ و سهولت کار، بهویژه در محیط GIS مدل براساس (جدول ۱) و بهصورت رابطه‌های ۷ و ۸ ارائه شد (یسیلناسر^{۲۵}، ۲۰۰۵: ۴۲۳) و وزن نهایی براساس روابط ۹ و ۱۰ برای هر عامل بهمنظور پهنه‌بندی خطر زمین‌لغزش مورد استفاده قرار گرفت (لی و چوی^{۲۶}، ۲۰۰۴: ۷۹۳).

جدول ۱- چهار حالت احتمال ایجاد زمین‌لغزش

عوامل ایجاد زمین‌لغزش		
زمین‌لغزش	حضور	عدم حضور
حضور	Npix1	Npix2
عدم حضور	Npix3	Npix4

$$W_i^+ = \log_e [(N_{pix1} / (N_{pix1} + N_{pix2})) / (N_{pix3} / (N_{pix3} + N_{pix4}))] \quad (7)$$

$$W_i^- = \log_e [(N_{pix2} / (N_{pix1} + N_{pix2})) / (N_{pix4} / (N_{pix3} + N_{pix4}))] \quad (8)$$

که در آن:

N_{pix1} : تعداد پیکسل‌های لغزشی در یک کلاس

N_{pix2} : (تعداد کل پیکسل‌های لغزشی در یک نقشه) - تعداد پیکسل‌های لغزشی در یک کلاس

24- Van vestern

25- Yesilnasar

26- Lee and Choi

Npix3: (تعداد پیکسل‌های یک کلاس) - (تعداد پیکسل‌های لغزشی در یک کلاس)
Npix4: (تعداد کل پیکسل‌های یک نقشه) - (تعداد کل پیکسل‌های لغزشی در یک نقشه) - (تعداد پیکسل‌های یک کلاس) + (تعداد پیکسل‌های لغزشی در یک کلاس)

$$C = [(W^+) - (W^-)] \quad (\text{رابطه } ۹)$$

$$\mathbf{W}_{\text{final}} = \mathbf{C} / S_c \quad (\text{رابطه } ۱۰)$$

که در آن:

C: تفاضل وزن‌های مثبت و منفی
Wfinal: وزن نهایی استاندارد شده
Sc: انحراف استاندارد است که برابر با جذر واریانس هر یک از وزن‌های مثبت و منفی می‌باشد (پورقاسمی و همکاران، ۱۳۹۱: ۱۱۷).

وزن مثبت نشان می‌دهد که عامل وقوع در محل زمین‌لغزش وجود دارد و بزرگی این وزن، همبستگی بین آن عامل وقوع زمین‌لغزش را بیان می‌کند؛ اما وزن منفی بیانگر عدم عامل مورد نظر در محل بروز زمین‌لغزش بوده، سطح همبستگی منفی را نشان می‌دهد. اختلاف بین دو وزن مثبت و منفی (Wfinal)، بزرگی ارتباط مکانی عامل علتی و زمین‌لغزش را نشان می‌دهد (کرمی، ۱۳۹۱: ۲۹).

برای به دست آوردن واریانس وزن‌های مثبت و منفی از روابط ۱۱ و ۱۲ استفاده گردید.

$$Sw+= \frac{\text{تعداد پیکسل‌های لغزشی در یک کلاس}}{1} \quad (\text{رابطه } ۱۱)$$

$$Sw-= \frac{\text{(تعداد پیکسل‌های لغزشی در یک کلاس) - (جمع پیکسل‌های لغزشی در یک نقشه)}}{1} \quad (\text{رابطه } ۱۲)$$

ارزیابی روش پهنه‌بندی

پس از تهیه نقشه‌های وزنی براساس روابط ذکر شده، نقشه پهنه‌بندی خطر زمین‌لغزش با ۱۴ رویکرد (استفاده از تمام عوامل موثر و حذف تک‌تک عوامل) تهیه و براساس شکست‌های طبیعی (Natural Break) به چهار کلاس (خطر

کم، متوسط، زیاد و خیلی زیاد) طبقه‌بندی گردید. لذا نمی‌توان جهت ارزیابی نقشه‌های مورد نظر و تعیین دقت آنها، از نقشه پراکنش زمین‌لغزش‌های منطقه مورد مطالعه استفاده کرد (کوماک^{۲۷}، ۲۳: ۲۰۰۶). جهت حل این مشکل تعدادی از نقاط لغزشی برای مدل‌سازی و بخشی از آن نیز برای ارزیابی مدل مذکور (به ترتیب ۷۰ درصد و ۳۰ درصد) مورد استفاده قرار گرفت (کنستانتن و همکاران^{۲۸}، ۱۰: ۲۰۱۰). سپس با استفاده از منحنی ROC یا Relative Operating Characteristics Curve (زو و وانگ^{۲۹}، ۳۴۲: ۲۰۰۹) صحت نقشه‌های تهیه شده مورد تایید قرار گرفت. نهایتاً نقشه‌ای که دارای بیشترین دقت بود به عنوان نقشه نهایی خطر زمین‌لغزش برای منطقه مورد مطالعه پیشنهاد شد. منحنی ROC (شکل ۴) یکی از مفیدترین و کارآمدترین روش‌ها در ارائه خصوصیات تعیینی، شناسایی احتمالی و پیش‌بینی سیستم‌ها است که میزان دقت مدل را به صورت کمی برآورد می‌کند (ون وسترن^{۳۰}: ۲۰۰۲). در منحنی ROC ایده‌آل‌ترین مدل، بیشترین سطح زیرمنحنی را دارد و مقادیر AUC از ۰/۵ تا ۱ متغیر است. چنانچه مدلی نتواند رخداد لغزشی را بهتر از دیدگاه احتمالی (تصادفی) تخمین زند مقدار AUC آن ۰/۵ است و زمانی که منحنی ROC، سطح زیرمنحنی برابر با یک داشته باشد، بیانگر بهترین دقت از نقشه‌های پهنه‌بندی تهیه شده است. همبستگی کمی-کیفی سطح زیر منحنی و ارزیابی تخمین بدین صورت است: (۱-۰/۹ عالی، ۰/۸-۰/۹ خیلی خوب، ۰/۷-۰/۸ خوب، ۰/۶-۰/۷ متوسط، ۰/۵-۰/۶ ضعیف) (ون وسترن^{۳۱}: ۲۰۰۲).

یافته‌ها و بحث

نتایج به دست آمده از ارتباط هر یک از عوامل موثر بر وقوع زمین‌لغزش و مدل احتمالاتی بیزین در (جدول ۲) ارائه شده است. بررسی عامل شیب نشان می‌دهد که اکثر لغزش‌های منطقه (حدود ۵۱ درصد) در شیب‌های بیشتر از ۲۰ درجه رخ داده است. در شیب‌های کم برآیند نیروها به صورتی است که نیروهای مقاوم (عمودی) بیشتر از نیروی حرکه (افقی) بوده و شرایط وقوع زمین‌لغزش فراهم نمی‌شود (پورقاسمی، ۱۱۸: ۱۳۹۱). با افزایش شیب نیروهای افقی بیشتر و شرایط وقوع زمین‌لغزش فراهم می‌شود. همچنین دامنه‌های جنوبی (به دلیل آفتتاب‌گیری بیشتر) و

27- Komac

28- Konstantin et al

29- Zhu and Wang

30- Van vestern

31- Van vestern

پس از آن دامنه‌های غربی (به علت نفوذ بیشتر سیستم‌های باران‌آور غربی)، وزن بیشتری را به خود اختصاص داده است.

در بررسی شکل شیب در محدوده مورد مطالعه مشاهده شد که بیشتر لغزش‌های منطقه در شیب‌های مقعر رخ داده، این عامل می‌تواند نقش به سزاگی در همگرایی و واگرایی جریان انتقالی از بالادست حوضه به پایین دست آن داشته باشد. در دامنه‌های مقعر جریان آب به صورت همگرا است و این امر موجب انرژی بیشتر رواناب شده و تاثیر بیشتری بر زمین‌لغزش دارد. کلاس ارتفاعی ۳۰۰۰-۲۵۰۰ متر و پس از آن ارتفاع ۲۵۰۰-۲۰۰۰ متر بیشترین پتانسیل وقوع زمین‌لغزش را داشته است (به ترتیب با ۲۱/۸ و ۳۶/۷ درصد از لغزش‌های به وقوع پیوسته). همچنین بررسی عامل زمین‌شناسی نشان داد که بیشترین وزن مربوط به سازندگان سیلورین-دونین شامل ماسه‌ستگی کوارتزیت، سنگ‌آهک سفیدرنگ، شیل و سیلتستون می‌باشد و پس از آن در اراضی لخت بدون پوشش خاکی شامل سنگ‌های آهکی سخت بیشترین زمین‌لغزش رخ داده است. مراعط فقیر (با وزن ۵۵/۹۴) و نواحی جنگلی (با وزن ۱۶/۷۸) بیشترین همبستگی را با رخداد ناپایداری‌ها نشان می‌دهد.

جدول ۲- ارتباط بین هر یک از عوامل موثر و نقاط لغزشی با استفاده از مدل احتمالاتی بیزین

C/S (C)	S (C)	S2 (w-)	S2 (w+)	C	W-	W+	^۳ d	^۳ C	^۳ b	^۳ a	کلاس	عامل
-۱۳/۲۷	۰/۰۱۹	۵/۸	۰/۰۰۰۳	-۰/۲۶	۰/۴	-۰/۲۱	۱۴/۸	۳۰۲۳	۱۸/۵	۲۹۲۱۶	۵-۰	بیشتر از ۳۰
-۲۱/۸۱	۰/۰۲۶	۵/۳	۰/۰۰۰۷	-۰/۵۸	۰/۰۵	-۰/۵۲	۷/۴	۱۵۲۳	۱۲/۶	۱۹۹۸۰	۱۰-۵	
-۱۳/۳۵	۰/۰۲	۵/۷	۰/۰۰۰۴	-۰/۲۷	۰/۰۴	-۰/۲۳	۱۳/۷	۲۷۹۷	۱۷/۳	۲۷۳۴۸	۲۰-۱۰	
۷/۴۴	۰/۰۱۶	۷/۶	۰/۰۰۰۲	۰/۱۱	۰/۰۲	۰/۰۹	۲۵/۸	۵۲۴۵	۲۳/۵	۳۷۲۵۳	۳۰-۲۰	
۳۱/۸۸	۰/۰۱۴	۷/۹	۰/۰۰۰۱	۰/۴۶	-۰/۱۵	۰/۳	۳۸	۷۷۲۹	۲۷/۹	۴۴۰۷۷		
-۳۳/۴	۰/۰۶۶	۷/۷	۰/۰۰۲۲	-۱/۱۲	۰/۰۴	-۱/۰۸	۶/۶	۱۸۲۰	۱۱/۴	۱۸۰۰۵	شمال	شمال، شرق
-۳/۲۴	۰/۰۱	۴/۲	۰/۰۰۰۳	-۰/۰۶	۰/۰۰۸	-۰/۰۵	۱۲/۴۶	۳۴۰۳	۱۳/۱۴	۲۰۶۴۷		
-۷/۶۳	۰/۰۱	۴/۴	۰/۰۰۰۲	-۰/۱۲	۰/۰۲۲	-۰/۱	۱۶/۵۴	۴۵۱۵	۱۸/۳۳	۲۸۸۲۰	شرق	

۳۲- تعداد پیکسل‌های فاقد لغزش

۳۳- درصد پیکسل‌های فاقد لغزش

۳۴- تعداد پیکسل‌های لغزشی

۳۵- درصد پیکسل‌های لغزشی

ادامه جدول ۲- ارتباط بین هر یک از عوامل موثر و نقاط لغزشی با استفاده از مدل احتمالاتی پیزین

C/S (C)	S (C)	S2 (w-)	S2 (w+)	C	W-	W+	d	c	b	a	کلاس	عامل
-۳۲/۵۲	۰/۰۲	۴/۱	۰/۰۰۰۴	-۰/۶۶	۰/۰۸	-۰/۵۸	۹/۶	۲۶۲۲	۱۷/۱۷	۲۶۹۹۴	جنوب شرق	جهانی
۹۶/۴۹	۰/۰۱	۵/۴	۰/۰۰۰۱	۱/۲۴	-۰/۲۶	۰/۹۸	۳۱/۴۲	۸۸۴۹	۱۲/۱	۱۹۰۳۵	جنوب	
-۹/۰۳	۰/۰۲	۳/۹	۰/۰۰۰۷	-۰/۲۵	۰/۰۱	-۰/۲۳	۴/۹۹	۱۲۶۳	۶/۳۳	۹۹۰۱	جنوب غرب	
-۱/۱۴	۰/۰۲	۴	۰/۰۰۰۴	-۰/۰۲	۰/۰۰۲	-۰/۰۲	۸/۶۷	۲۳۶۸	۸/۸۷	۱۳۹۴۹	غرب	
-۱۹/۷۸	۰/۰۲	۴	۰/۰۰۰۴	-۰/۴۲	۰/۰۴	-۰/۳۸	۶۱/۸	۲۳۵۱	۱۲/۰۹	۱۹۸۰۶	شمال غرب	
۱۱/۱۴	۰/۰۱	۱/۱	۰/۰۰۰۱	۰/۱۵	-۰/۰۸	۰/۰۷	۵۲/۸۷	۱۰۴۷۷	۴۸/۹	۷۷۲۶۰	مقرر	
-۱۱/۱۴	۰/۰۱	۹/۵	۰/۰۰۰۱	-۰/۱۵	۰/۰۷	-۰/۰۸	۴۷/۱۲	۹۳۳۶	۵۱/۰۸	۸۰۶۷۷	محدب	جهانی
∞	∞	۴/۹	∞	∞	۰/۰۸	∞	۰	۰	۸	۱۲۷۵۰	۱۵۰۰-۱۲۸۰	
-۵۵/۶	۰/۰۲	۵/۷	۰/۰۰۰۴	-۱/۱۳	۰/۲۵	-۰/۸۸	۱۳/۷۲	۲۷۸۸	۳۳/۰۹	۵۲۳۱۴	۲۰۰۰-۱۵۰۰	
۳۷/۷	۰/۰۱	۹/۸	۰/۰۰۰۱	۰/۰۲	-۰/۲۲	۰/۳	۴۹/۷	۱۰۰۹۴	۳۶/۷	۵۸۱۴۵	۲۵۰۰-۲۰۰۰	
۴۹/۰۷	۰/۰۱	۷/۷	۰/۰۰۰۱	۰/۷۱	۰/۲	۰/۵۱	۳۶/۳	۷۳۸۵	۲۱/۸۳	۳۴۵۰۸	۳۰۰۰-۲۵۰۰	
-۰/۲۳	۰/۱۵	۴/۹	۰/۰۲	-۰/۰۳	۰	-۰/۰۳	۰/۲۱	۴۳	۰/۰۲۲	۳۴۷	بیش تر از ۳۰۰۰	
۵۱/۷۶	۰/۰۲	۵/۵	۰/۰۰۰۴	۱/۱۳	-۰/۰۸	۱/۰۵	۱۱/۵	۲۲۴۶	۴	۶۳۶	سیلورین-دونین (ماسه سنگ) کوارتزیت	
-۳/۴۲	۰/۰۲	۳/۹	۰/۰۰۰۱	-۰/۰۷	۰/۰۶۳	-۰/۰۰۹	۸۷/۳	۱۷۸۰۹	۸۸/۱	۱۳۹۹۷۶	تریاپس (فیلیت و شیل)	جهانی
∞	∞	۴/۹	∞	∞	۰/۰۰۴	∞	۰	۰	۰/۴	۶۳۷	ژوراسیک (کنگلومرای ناجور)	
-۰/۰۹	۰/۱۹	۴/۹	۰/۰۳	-۱/۱۶	۰/۰۰۳	-۱/۱۶	۰/۱۲	۲۶	۰/۴	۶۵۰	پالشون (آهک) نمولیت دار	
∞	∞	۴/۹	∞	∞	۰/۰۱	∞	۰	۰	۱/۰۲	۱۶۲۳	ثوڑن (مارن گچ دار) قرمز)	
-۲۳/۲۸	۰/۰۶	۵	۰/۰۰۴	-۱/۶۲	۰/۰۴	-۱/۵۸	۱/۰۲	۲۰۸	۴/۹۶	۷۸۸۵	تراس های جوان	
∞	∞	۴/۹	∞	∞	۰/۰۱	∞	۰	۰	۱/۰۶	۱۶۹۸	پادگانه آبرفتی	
۳۴/۹	۰/۰۱	۱	۰/۰۰۰۱	۰/۴۸	-۰/۲۲	۰/۲۶	۵۱/۹۸	۱۰۶۰۲	۳۹/۸۹	۶۳۳۳۴	اراضی لخت بدون پوشش خاکی	جهانی
۱۰۰/۲	۰/۰۱	۸/۳	۰/۰۰۰۱	۱/۴۲	-۰/۳۷	۱/۰۵	۴۰/۷۲	۸۳۰۹	۱۴/۱۴	۲۲۴۵۴	خاک های خیلی کم عمق سینگ ریزه	

ادامه جدول ۲- ارتباط بین هر یک از عوامل موثر و نقاط لغزشی با استفاده از مدل احتمالاتی بیزین

C/S (C)	S (C)	S2 (w-)	S2 (w+)	C	W-	W+	d	c	b	a	کلاس	عامل
-۵۹/۲	۰/۰۲	۵/۲	۰/۰۰۰۸	-۱/۷۵	۰/۲۵	-۱/۵	۵/۹۱	۱۲۰۶	۲۶۷۱	۴۲۴۰۷	خاک‌های کم عمق و غیریکنواخت سنگ‌ریزه دار	۱۶۰
-۴۶/۲	۰/۰۶	۵	۰/۰۰۳	-۲/۸	۰/۱۹	-۲/۶	۱/۳۵	۲۷۷	۱۸/۴۷	۲۹۳۲۵	خاک‌های کم عمق و نسبتاً سنگ‌ریزه دار	
∞	∞	۴/۹	∞	∞	۰/۰۰۸	∞	۰	۰	۰/۷۶	۱۲۱۹	خاک‌هایی با یافت متوسط تا عمیق	۱۶۱
∞	∞	۴/۹	∞	∞	۰/۰۰۵	∞	۰	۰	۰/۵۱	۸۲۴	زمین کشاورزی	
-۷/۲۸	۰/۰۲	۵/۲	۰/۰۰۰۸	-۰/۲۱	۰/۰۱	-۰/۱۹	۶/۱۸	۱۲۶۰	۷/۵۳	۱۱۹۰۸	باغ	۱۶۲
-۳۱/۷	۰/۰۱	۱/۱	۰/۰۰۰۱	-۰/۴۴	۰/۲۷	-۰/۱۷	۵۵/۳۲	۱۱۲۶۴	۶۵/۹۴	۱۰۴۶۰۳	مرتع متوسط	
۱۶/۷۸	۰/۰۱	۷/۷	۰/۰۰۰۲	۰/۲۶	۰/۰۶	۰/۲	۲۶/۲۴	۵۳۴۳	۲۱,۴	۳۳۹۵۴	جنگل	۱۶۳
۵۵/۹۴	۰/۰۲	۵/۶	۰/۰۰۰۴	۱/۱۹	-۰/۰۸	۱/۱	۱۲/۲۴	۲۴۹۲	۴/۰۴	۶۴۱۸	مرتع فقیر	
∞	∞	۴/۹	∞	∞	۰/۰۰۵	∞	۰	۰	۰/۵۱	۸۱۶	مراکز شهری	۱۶۴
∞	∞	۴/۹	∞	∞	۰	∞	۰	۰	۰/۰۳	۵۱	آب	
-۹/۴۵	۰/۰۲۱	۵/۶	۰/۰۰۰۴	-۰/۲	۰/۰۲	-۰/۱۷	۱۲/۰۴	۲۴۰۰	۱۴/۳۷	۲۲۸۵۲	۱۰۰-۰	۱۶۵
-۷/۲۸	۰/۰۲۲	۵/۵	۰/۰۰۰۵	-۰/۱۴	۰/۰۱	-۰/۱۲	۱۰/۴۴	۲۱۲۴	۱۱/۸۷	۱۸۸۷۰	۲۰۰-۱۰۰	
-۳/۴۵	۰/۰۲۲	۵/۵	۰/۰۰۰۴	-۰/۰۷	۰/۰۰۹	-۰/۰۶	۱۱/۱۸	۲۲۷۴	۱۱/۹۶	۱۹۰۲۶	۳۰۰-۲۰۰	۱۶۶
-۰/۲۲	۰/۰۲۴	۵/۴	۰/۰۰۰۵	-۰/۰۰۷	۰/۰۰۱	-۰/۰۰۵	۹/۲۳	۱۸۷۹	۹/۲۸	۱۴۷۶۱	۴۰۰-۳۰۰	
۳/۱۹	۰/۰۲۳	۵/۵	۰/۰۰۰۵	۰/۰۷	-۰/۰۰۷	۰/۰۶	۹/۸۲	۱۹۹۸	۹/۱۷	۱۴۵۸۹	۵۰۰-۴۰۰	۱۶۷
۱/۶۷	۰/۰۱۴	۷/۳	۰/۰۰۰۱	۰/۰۲	-۰/۰۰۸	۰/۰۱	۳۳/۰۲	۶۷۱۶	۳۲/۴۷	۵۱۶۱۸	۱۰۰۰-۵۰۰	
۱۵/۴۸	۰/۰۲	۵/۷	۰/۰۰۰۳	۰/۳۱	-۰/۰۳	۰/۲۷	۱۴/۲۴	۲۸۹۷	۱۰/۰۵	۱۷۲۵۳	بیش‌تر از ۱۰۰۰	۱۶۸
-۸/۸۳	۰/۰۱۵	۷/۱	۰/۰۰۰۲	-۰/۱۳	۰/۰۴	-۰/۰۹	۳۱/۲۲	۶۳۷۱	۳۴/۱۵	۵۴۳۴۱	۱۰۰-۰	
۷/۰۸	۰/۰۱۶	۷/۶	۰/۰۰۰۲	۰/۱۱	-۰/۰۲	۰/۰۸	۲۵/۹۲	۵۲۹۱	۲۳/۸۱	۳۷۸۸۸	۲۰۰-۱۰۰	۱۶۹
۸/۴۸	۰/۰۱۷	۷/۲	۰/۰۰۰۲	۰/۱۴	-۰/۰۲	۰/۱۱	۲۱/۱۰	۴۳۱۷	۱۸/۸۳	۲۹۹۵۹	۳۰۰-۲۰۰	
-۱/۷	۰/۰۲۳	۵/۴	۰/۰۰۰۵	-۰/۰۴	۰/۰۰۴	-۰/۰۳	۹/۶۳	۱۹۶۶	۹/۹۹	۱۵۸۹۷	۴۰۰-۳۰۰	۱۷۰
-۸/۳۷	۰/۰۲۲	۵/۲	۰/۰۰۱	-۰/۲۷	۰/۰۱	-۰/۲۵	۴/۰۹	۱۰۱۲	۷/۳۹	۱۰۱۷۸	۵۰۰-۴۰۰	
۲/۲۳	۰/۰۲۷	۵/۳	۰/۰۰۰۷	۰/۰۶	-۰/۰۰۴	۰/۰۵	۷/۰۵	۱۴۴۰	۶/۶۶	۱۰۶۰۶	۱۰۰۰-۵۰۰	۱۷۱
-۳/۴۵	۰/۳۱	۴/۹	۰/۱	-۱/۰۹	۰/۰۱	-۱/۰۹	۰/۰۴	۱۰	۰/۱۴	۲۳۲	بیش‌تر از ۱۰۰۰	
۲۳/۳۳	۰/۰۱۷	۷/۱	۰/۰۰۰۲	۰/۴	-۰/۰۶	۰/۱۴	۱۹/۸۹	۴۰۶۱	۱۴/۱۵	۲۲۵۱۰	۱۰۰-۰	۱۷۲

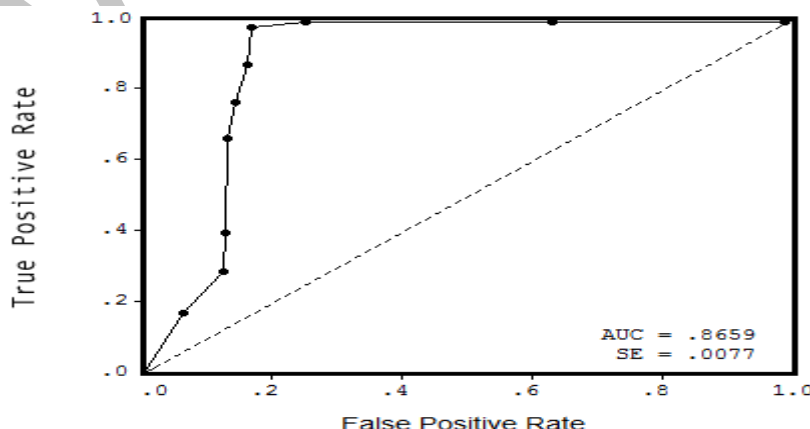
ادامه جدول ۲- ارتباط بین هر یک از عوامل موثر و نقاط لغزشی با استفاده از مدل احتمالاتی بیزین

C/S (C)	S (C)	S2 (w-)	S2 (w+)	C	W-	W+	d	c	b	a	کلاس	عامل
۳۳/۳۹	۰/۰۱۷	۶	۰/۰۰۰۳	۰/۰۹	-۰/۰۸	۰/۵	۱۸/۸۴	۲۸۴۷	۱۱/۳۲	۱۸۰۰۶	۲۰۰-۱۰۰	جاذبه از رودخانه
۲۲/۲۲	۰/۰۱۹	۵/۸	۰/۰۰۰۳	۰/۴۲	-۰/۰۵	۰/۳۷	۱۵/۷۷	۳۲۲۰	۱۰/۸۹	۱۷۳۱۴	۳۰۰-۲۰۰	
۹/۲۴	۰/۰۲۳	۵/۵	۰/۰۰۰۵	۰/۲۱	-۰/۰۲	۰/۱۹	۱۰/۲۳	۲۰۹۰	۸/۴۳	۱۳۴۱۲	۴۰۰-۳۰۰	
۱/۱	۰/۰۲۵	۵/۳	۰/۰۰۰۶	۰/۰۲	-۰/۰۰۲	۰/۰۲	۸/۱	۱۶۵۴	۷/۸۹	۱۲۵۵۰	۵۰۰-۴۰۰	
-۲۷/۰۷	۰/۰۱۸	۶	۰/۰۰۰۳	-۰/۴۹	۰/۱	-۰/۳۸	۱۸/۲۸	۳۷۳۳	۲۶/۷۵	۴۲۵۳۷	۱۰۰۰-۵۰۰	
-۳۹/۶۷	۰/۰۲۴	۵/۴	۰/۰۰۰۶	-۰/۹۷	۰/۱۳	-۰/۸۳	۸/۸۷	۱۸۱۲	۲۰/۵۴	۳۲۶۶۲	بیشتر از ۱۰۰۰	
-۵۳/۵۷	۰/۰۳۸	۵/۱	۰/۰۰۱	-۲/۰۳	۰/۲۱	-۱/۸۲	۳/۵۲	۷۱۶	۲۱/۹۳	۳۴۶۸۱	کمتر از ۲۹۰	
۵/۳۳	۰/۰۱۴	۹/۴	۰/۰۰۰۱	۰/۰۷	-۰/۰۳	۰/۰۴	۴۷/۷۸	۹۶۹۵	۴۵/۹۱	۷۲۶۰۶	۳۵۰-۲۹۰	
۴۲/۷۵	۰/۰۱۴	۸/۹	۰/۰۰۰۱	۰/۶	-۰/۲۲	۰/۳۷	۴۴/۹۱	۹۱۱۳	۳۰/۸۴	۴۸۷۷۰	۴۰۰-۳۵۰	
۲۹/۴۴	۰/۰۳۶	۵/۱	۰/۰۰۱	۱/۰۸	-۰/۰۲	۱/۰۶	۳/۷۷	۷۶۵	۱/۳	۲۰۶۶	بیشتر از ۴۰۰	
۳/۶۶	۰/۰۱۵	۰/۰۰۰۱	۷/۰۴	۰/۰۵۶	-۰/۰۳	۰/۰۱۷	۷۹/۸	۱۴۱۹۵	۶/۶	۱۰۷۹۴۴	۲-۰	جاذبه از آبراه
-۰/۴۷	۰/۰۲	۰/۰۰۰۰۵	۵/۲۲	-۰/۰۱	۰/۰۰۱	-۰/۰۱	۹/۴۲	۱۹۱۶	۹/۰۲	۱۴۹۷۷	۵-۲	
۱/۱۶	۰/۰۲	۰/۰۰۰۰۶	۳/۵۸	۰/۰۲	-۰/۰۰۳	۰/۰۲	۱۳/۷۶	۲۷۹۷	۱۳/۴۸	۲۱۲۰۰	۲۰-۵	
-۷/۴۳	۰/۰۳	۰/۰۰۰۰۵	۱/۱۷	-۰/۲۵	۰/۰۱	-۰/۲۴	۴/۲۱	۸۵۶	۵/۳۹	۸۴۸۰	۵۰-۲۰	
-۱/۶۲	۰/۰۴	۰/۰۰۰۰۵	۱/۷۸	-۰/۰۶	۰/۰۰۱	-۰/۰۶	۲/۷۷	۵۶۳	۲/۹۶	۴۶۵۹	بیشتر از ۵۰	
-۰/۸۵	۰/۰۱۴	۰/۰۰۰۱	۸/۴	-۰/۰۱	۰/۰۰۷	-۰/۰۰۵	۵۸/۲۳	۱۱۸۸۹	۵۸/۵۳	۹۲۳۷۶	۱۰-۰	
۲/۰۰۴	۰/۰۲	۰/۰۰۰۰۵	۴/۴۹	۰/۰۴	-۰/۰۰۴	۰/۰۴	۱۰/۹	۲۲۲۷	۱۰/۴۷	۱۶۵۳۸	۲۰-۱۰	
۰/۲۱	۰/۰۱	۰/۰۰۰۰۶	۳/۱۶	۰/۰۰۴	-۰/۰۰۰۶	۰/۰۰۳	۱۵/۵۱	۳۱۶۸	۱۵/۴۶	۲۴۴۰۳	۳۰-۲۰	
-۰/۲۴	۰/۰۲	۰/۰۰۰۰۶	۳/۵۹	-۰/۰۰۴	۰/۰۰۰۶	-۰/۰۰۴	۱۲/۶۵	۲۷۸۷	۱۳/۷۱	۲۱۶۳۸	۵۰-۳۰	
-۱/۴	۰/۰۵	۰/۰۰۰۰۵	۲/۹۲	۰/۰۷	۰/۰۰۱	-۰/۰۷	۱/۶۸	۳۴۳	۱/۸۱	۲۸۵۸	بیشتر از ۵۰	

در اراضی جنگلی می‌توان این گونه استدلال کرد که وقوع زمین لغزش مربوط به نفوذ بیشتر از آب در اراضی جنگلی و آبگذری کمتر از این اراضی باشد که با نظرات پورفاسمی و همکاران (۱۳۹۱) تطابق دارد. انتظار می‌رفت با بررسی فاصله از جاده این نتیجه حاصل شود که در محدوده‌های اطراف جاده زمین لغزش بیشتر اتفاق افتاده باشد اما نتیجه این گونه نبوده است. بلکه با فاصله گرفتن از جاده پتانسیل وقوع زمین لغزش افزایش یافته به طوری که در فواصل بیشتر از ۱۰۰۰ متر به حداقل وزن خود رسیده است (با وزن ۱۵/۴۸) و با نزدیک شدن به جاده میزان حساسیت به

زمین‌لغوش کم گردیده است که این نتیجه، عکس نظرات پورقاسمی و همکاران (۱۳۹۱) می‌باشد. شاید دلیل این امر در این مطالعه این باشد که در محدوده مطالعاتی جاده‌ها آسفالت نبوده و بیشتر شوشه و مال رو بوده و هنوز این جاده احداث نشده، بنابراین تاثیر زیادی در وقوع زمین‌لغوش در منطقه نداشته است. بررسی لایه فاصله از گسل نشان داد که کلاس ۲۰۰-۱۰۰ متر بیشترین وقوع زمین‌لغوش را داشته و پس از آن در فواصل ۱۰۰-۰ و ۳۰۰-۲۰۰ متری زمین‌لغوش بیشتری رخ داده است. با دور شدن از حریم گسل اوزان حاصله کاهش چشمگیری داشته است که این امر بیانگر همبستگی وقوع زمین‌لغوش با حریم گسل می‌باشد. همچنین در بررسی لایه فاصله از رودخانه مشخص گردید که فواصل ۳۰۰-۲۰۰ و ۱۰۰-۰ متری از رودخانه بیشترین وزن را در وقوع زمین‌لغوش داراست. در ارزیابی عامل بارش نیز معلوم گردید که بیشتر لغوش‌های منطقه زمانی اتفاق می‌افتد که بارندگی در منطقه به ۳۵۰ میلی‌متر و بیشتر برسد. بررسی شاخص توان آبراهه و شاخص حمل رسوب نیز نشان داد که بیشترین وزن لغوشی به ترتیب مربوط به طبقه‌های ۲۰- (با وزن ۳/۶۶۵) و ۲۰-۱۰ (با وزن ۲/۰۰۴) بوده است.

به‌منظور پنهان‌بندی خطر زمین‌لغوش در منطقه مورد مطالعه از ۱۴ رویکرد مدل‌سازی (جدول ۳) استفاده گردید. با حذف عامل شاخص توان آبراهه، شاخص حمل رسوب و عامل بارش دقت نقشه را به ۶۱/۴۴، ۶۵/۷۸ و ۶۰/۱۲ درصد رسید. دقت در رویکرد ۱۴ (حذف عامل بارش) نشان می‌دهد زمانی که عامل بارش از تحلیل‌ها حذف گردید، دقت مدل بیشترین کاهش را داشت. این نتایج نشان می‌دهد که عامل بارش تاثیر زیادی در وقوع زمین‌لغوش در منطقه داشته است و از این عامل می‌توان به عنوان تأثیرگذارترین عامل در منطقه مورد مطالعه یاد کرد. پس از بارش عامل توان آبراهه از عوامل تأثیرگذار در منطقه می‌باشد.



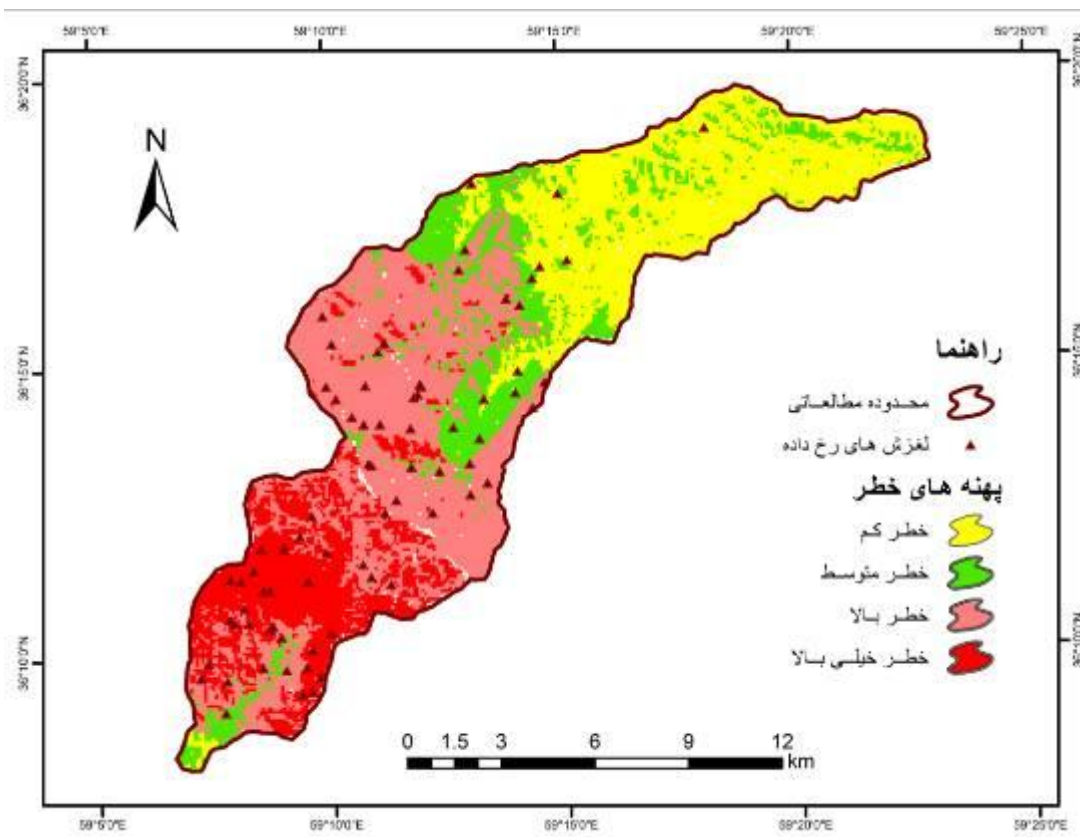
شکل ۴: منحنی ROC و سطح زیر منحنی مربوط به نقشه پنهان‌بندی خطر زمین‌لغوش (حذف عامل فاصله از گسل)

نقشه‌های تهیه شده با استفاده از منحنی ROC و سطح زیر منحنی مورد ارزیابی قرار گرفت و در نهایت نقشه‌ای با بالاترین دقت، به عنوان نقشه نهایی برای منطقه مورد مطالعه پیشنهاد گردید (شکل ۵). براساس نتایج منحنی ROC مقدار سطح زیر منحنی در رویکرد اول (استفاده از تمام عوامل موثر بر وقوع زمین‌لغزش) دارای دقتی برابر با ۶۸/۱۳ درصد بوده است. با حذف عامل جهت شبیب دقت نقشه به ۶۲/۲ درصد کاهش یافت. هنگامی که عامل شبیب از تحلیل‌ها حذف گردید، دقت نقشه به ۷۱/۷ درصد رسید. با حذف عامل شبیب (محدب و مقعر بودن دامنه) از تحلیل‌ها نقشه به دقتی در حدود ۶۴/۱٪ رسید. به ترتیب حذف عوامل ارتفاع، کاربری اراضی و لیتوژئی دقت نقشه‌ها را به ۶۶/۲۸٪، ۶۶/۹۷٪ و ۷۹/۱۸٪ رساند.

جدول ۳- توصیف آماری هر یک از رویکردهای مدل‌سازی خطر زمین‌لغزش و میزان دقت مدل‌های مذکور

رویکردها ^۳	مینیمم مقادیر	ماکریم مقادیر	سطح زیر منحنی
۱	-۳۳۶/۵۰۶	۴۸۸/۲۵۵	۰/۶۸۱۳
۲	-۳۰۴/۴۶۵	۳۹۱/۷۵۷	۰/۶۲۲۳
۳	-۳۱۵/۲۳۶	۴۵۶/۳۷۳	۰/۷۰۷۱
۴	-۳۳۲/۲۵۲	۴۷۹/۸۴۴	۰/۶۴۱۱
۵	-۲۸۰/۸۷۸	۴۴۱/۷۹۶	۰/۶۶۲۸
۶	-۳۱۰/۴۸۲	۴۳۲/۳۱۲	۰/۶۶۹۷
۷	-۳۱۳/۲۲۱	۴۳۶/۴۹۴	۰/۷۹۱۸
۸	-۲۷۷/۲۹۴	۳۸۸/۰۰۸	۰/۸۰۴۹
۹	-۳۳۰/۲۲۲	۴۸۵/۰۶۱	۰/۷۱۴۶
۱۰	-۳۲۷/۶۷۱	۴۷۹/۷۶۹	۰/۷۱۵۷
۱۱	-۳۰۹/۴۳۷	۴۵۶/۱۹۱	۰/۸۶۵۹
۱۲	-۳۶۱/۷۲۳	۵۴۰/۵۲۳	۰/۶۱۴۴
۱۳	-۳۳۸/۵۱۱	۴۸۸/۰۳۶	۰/۶۵۷۸
۱۴	-۲۸۲/۹۲۸	۴۵۵/۵۰۴	۰/۶۰۱۲

۳۶- استفاده از تمام عوامل موثر ۲- حذف عامل جهت شبیب ۴- حذف عامل شبیب ۵- حذف عامل ارتفاع ۶- حذف کاربری اراضی ۸- حذف عامل خاک ۹- حذف عامل فاصله از جاده ۱۰- حذف عامل فاصله از آبراهه ۱۱- حذف عامل فاصله از گسل ۱۲- حذف عامل توان آبراهه ۱۳- حذف عامل شاخص حمل رسوب ۱۴- حذف عامل بارش



شکل ۵: نقشه پهنه‌بندی خطر زمین‌لغزش منطقه مورد مطالعه (رویکرد ۱۱)

با حذف عامل لیتولوژی سطح زیر منحنی به بین ۰/۷-۰/۸ رسید که در ارزیابی منحنی ROC به عنوان نقشه‌ای با دقت خوب در نظر گرفته می‌شود. حذف عامل خاک موجب گردید سطح زیر منحنی به بیشتر از ۰/۸ رسیده و نقشه دارای دقت خیلی خوب ارزیابی گردید.

در رویکرد نهم و دهم مدل‌سازی؛ حذف عامل فاصله از جاده و فاصله از آبراهه، سطح زیر منحنی به ترتیب به ۰/۷۱۴ و ۰/۷۱۵ رسید. حذف عامل فاصله از گسل دقت کار را به حداقل رساند و سطح زیر منحنی برابر با ۰/۸۶ پس از تحلیل منحنی ROC می‌توان نقشه‌ای را که دارای بیشترین دقت و سطح زیر منحنی است (رویکرد ۱۱) را به عنوان نقشه‌ی نهایی خطر زمین‌لغزش در نظر گرفت. مدل برتر دارای سطح زیر منحنی ۰/۸۶۵۹ بوده که در همبستگی کمی و کیفی و ارزیابی تخمین دارای دقت خیلی خوب می‌باشد (شکل ۴).

نتیجه‌گیری

حرکات دامنه‌ای و به‌طور اخص زمین‌لغزش یکی از مخاطرات عمدۀ در مناطق کوهستانی به‌شمار می‌رود که موجب خسارات مالی در مناطق مستعد زمین‌لغزش می‌گردد. در دهه‌های اخیر با افزوده شدن عوامل انسانی، ناپایداری شیب‌ها تشدید شده است. محدوده مطالعه بخشی از دامنه‌های شمالی و جنوبی ارتفاعات بین‌النود می‌باشد که به علت ماهیت کوهستانی منطقه مستعد وقوع انواع زمین‌لغزش‌هاست؛ بنابراین این مطالعه با استفاده از روش بیزین و بهره‌گیری از سیستم اطلاعات جغرافیایی به ارزیابی حساسیت زمین‌لغزش در این محدوده پرداخته است. یکی از مزیت‌های این روش این است که غیرجانبدارانه، وزن عوامل در هر لایه را مشخص می‌کند. همچنین استفاده از ۱۴ رویکرد مدل‌سازی برای منطقه مذکور نیز به توانایی‌های نقشه خطر زمین‌لغزش تهیه شده افزوده است. رابطه بین توزیع زمین‌لغزش‌ها با عوامل درجه شیب، جهت شیب، شکل شیب، ارتفاع، کاربری اراضی، زمین‌شناسی، فاصله از جاده، فاصله از آبراهه، فاصله از گسل، شاخص توان آبراهه، شاخص حمل رسوب، خاک و پهنه‌های بارشی بررسی شد.

در این زمینه صحت و دقت مدل با استفاده از منحنی ROC بررسی گردید و نقشه‌ای که دارای بیشترین دقت بود به عنوان نقشه نهایی خطر زمین‌لغزش برای محدوده مطالعاتی پیشنهاد گردید. در این منطقه، نقشه پهنه‌بندی با رویکرد حذف عامل گسل با دقت $86/5$ درصد به عنوان بیشترین دقت و با سطح زیر منحنی $0/8659$ ارزیابی گردید. نتایج تحقیق پورقادسی و همکاران که در بخشی از استان گلستان در سال (۱۳۹۱) انجام گرفت نشان داد که عامل لیتوژئی در محدوده مورد مطالعه موثرترین عامل در بروز زمین‌لغزش به‌شمار می‌رود. همچنین در پژوهش کرمی که در همان سال در حوضه سعیدآبادچای انجام گرفت عامل شیب بیشترین همبستگی مثبت را با وقوع زمین‌لغزش داشته است. براساس این ارزیابی به ترتیب حدود $28/35$ ، $12/69$ ، $40/51$ و $18/43$ درصد از منطقه مورد مطالعه در طبقه خطر کم، متوسط، زیاد و خیلی زیاد قرار گفته است. همان‌طور که مشهود است $58/94$ درصد از منطقه در طبقه زیاد و بسیار زیاد از زمین‌لغزش قرار دارند که این نواحی بیشتر در جنوب‌غرب منطقه قرار دارند. با این شناسایی و ارزیابی در محدوده مطالعه، توجه به دینامیک محیط طبیعی و نواحی حساس به زمین‌لغزش در اجرای برنامه‌های عمرانی، فعالیت‌های کشاورزی و زیرساخت‌های ترابری ضروری به نظر می‌رسد.

منابع

- امامی، سیدنعم؛ غیومیان، جعفر (۱۳۸۲)، «پژوهشی بر ساز و کار زمین‌لغزش‌ها بر روی واریزه‌های دامنه‌ای (مطالعه موردی لغزش افسر آباد استان چهار محال و بختیاری)»، مجموعه مقالات سومین کنفرانس زمین‌شناسی مهندسی و محیط زیست ایران، دانشگاه بوعلی سینا همدان، ویراستاری و تدوین: غلامرضا خانلری، صص ۱۲۶-۱۱۳.
- پورقاسمی، حمیدرضا؛ مرادی، حمیدرضا؛ محمدی، مجید؛ مصطفی‌زاده، رئوف؛ گلی‌جیرنده، عباس (۱۳۹۱)، «پنهانه‌بندی خطر زمین‌لغزش با استفاده از تئوری بیزین»، مجله علوم و فنون کشاورزی و منابع طبیعی، علوم آب و خاک، شماره ۶۲، صص ۱۰۹-۱۲۳.
- پورقاسمی، حمیدرضا؛ مرادی، حمیدرضا؛ محمدی، مجید (۱۳۸۹)، «کاربرد سامانه اطلاعات مکانی و مدل احتمالی weight of Evidence در پنهانه‌بندی حساسیت زمین‌لغزش»، مجموعه مقالات هفتمین همایش ملی رسانه‌های اطلاعات مکانی GIS ۸۹، تهران، سازمان نقشه‌برداری کشور.
- خالدی، شهریار؛ درخشی، خهبات؛ مهرجونزاد، اکبر؛ قره‌چاهی، سعید؛ خالدی، شاهین (۱۳۹۱)، «ارزیابی عامل‌های موثر در رویداد زمین‌لغزش و پنهانه‌بندی آن با استفاده از مدل رگرسیون لجستیک در محیط GIS (مطالعه موردی حوضه آبخیز طالقان)»، مجله جغرافیا و مخاطرات محیطی، شماره ۱، صص ۸۲-۶۵.
- عابدینی، موسی؛ فتحی، محمدحسین (۱۳۹۳)، «پنهانه‌بندی حساسیت خطر وقوع زمین‌لغزش در حوضه آبخیز خلخال چای با استفاده از مدل‌های چند معیاره»، پژوهش‌های ژئومورفوژئی کمی، شماره ۴، صص ۸۵-۷۱.
- فعله‌گری، محسن؛ طالبی، علی؛ کیاشکوریان، یاسر (۱۳۹۲)، «بررسی اثر جاده‌سازی در وقوع زمین‌لغزش با استفاده از مدل پایداری دامنه FIAC SIOP (مطالعه موردی: حوضه آبخیز سد ایلام)»، مجله پژوهش‌های حفاظت آب و خاک، شماره ۱، صص ۲۳۹-۲۲۷.
- کرمی، فربا (۱۳۹۱)، «ارزیابی حساسیت زمین‌لغزش در حوضه‌های کوهستانی نیمه‌خشک با استفاده از روش‌های آماری و مدل وزنی شاهد (مطالعه موردی: حوضه زهکشی سعیدآباد چای- شمال غرب ایران)»، فصلنامه تحقیقات جغرافیایی، شماره ۲۷، صص ۴۴-۲۱.

- مقیمی، ابراهیم؛ یمانی، مجتبی؛ رحیمی هرآبادی، سعید (۱۳۹۲)، «ارزیابی و پهنه‌بندی خطر زمین‌لغزش در شهر روذبار با استفاده از فرآیند تحلیل شبکه»، پژوهش‌های ژئومرفولوژی کمی، شماره ۴، صص ۱۱۸-۱۰۳.

- Constantin, M., Bednarik, M., Jurchescu, M. C., Vlaicu, M., (2010), "Landslide susceptibility assessment using the bivariate statistical analysis and the index of entropy in the Sibiciu Basin(Romania)", *Environmental Earth Science Journal*, 63: 397-406.
- Gabet, E., J., Burbank, D. W., patkonen, J. k., (2004), "Rainfall thresholds for Landsliding in the Himalayas of Nepal", *Geomorphology*, 63: 131-143.
- Hattanji, T., Moriwaki, H., (2009), "Morphometric analysis of relic landslides using detailed landslide distribution maps: Implications for forecasting travel distance of future landslides", *Journal of Geomorphology*, 103:447-454.
- Komac, M. A., (2006), "Landslide susceptibility model using the Analytical Hierarchy Process method and multivariate statistics in perialpine Sloveni", *Geomorphology*, 74: 17-28.
- Lee, S., choi, J., Min. K., (2002), "Landslide susceptibility analysis and verification using the Bayesian probability model", *Environ.Geoel*, 43: 120-131.
- Lee, S., Choi. J., (2004), "Landslide susceptibility mapping using GIS and the weight-of-evidence model", *Intle.J. Geograph. Inform. Sci.* 18(8):789-814.
- Mathew, J., Jha , V. K., rawat. G. S., (2007), "Weights of evidence modeling for landslide hazard zonation mapping in part of Bhagirathi Valley, uttarakhand", *Current Science*, 5: 628-638.
- Moore, I. D., Gessler, P. E., Neslesn G. A., Peterson. G. A., (1993), "Soil atteibutes prediction using terrain analysis", *Soil Sci. Soc. Amer*, 57: 443-452.
- Nefeslioglu, H., Duman, T. Y., Durmaz, S., (2008), "Landslide susceptibility mapping for a part of tectonic Kelkit Valley (Eastern Black Sea Region of Turkey)", *Geomorphology*, 94: 401-418.
- Neuhauser, B., Terhorst, B., (2007), "Landslide susceptibility assessment using weights-of-evidence applied to a study area at the Jurassic escarpment (SW. Germany)", *Geomorphology*, 86:12-24.
- Pradhan, B., (2011), "An assessment of the use of an advanced neural network model with five different training strategies for the preparation of land slide susceptibility maps", *Jornal of Data science*, 9: 65-81.
- Regmi, N. R., Giardino, J. R., Vitek, J. D., (2010), "Modeling susceptibility to landslides using the weight of evidence approach: Western Colorado, USA", *Geomorphology*, 115: 172–187. Measuring the accuracy of diagnostic system, science, 240: 1285-1293.
- VanWestern, C. J., (2002), "Use of weights of evidence modeling for landslide susceptibility mapping", International Institute for Geoinformation Science and Earth observation (ITC), Enschede, The Netherlands.

- Yesilnacar, E. K., (2005), "The application of computational intelligence to landslide susceptibility mapping in measuring the accuracy of diagnostic systems", Ph.D Thesis, Department of Geomatics the University of Melbourne, Turke.
- Zhu, C., Wang, X., (2009), "Landslide susceptibility mapping: A comparison of information and weights-of evidence methods in three Gorges Area", *International Conference on Environmental Science and Information Application Technology*, 187: 342-346.

Archive of SID